

Parte I

Ejercicio 1

1. Introcucción

Se nos pidió realizar dos circuitos, el circuito derivador e integrador, que como sus nombres indican se encargan de mostrar a la salida la derivada o integral respectivamente de su señal de entrada. Como se indica por consigna se utilizó el amplificador operacional LM833 y el valor comercial más cercano al pedido tanto de resistencia como de capacitor, estos son $R = 39k\Omega$ y $C = 2.7nF$.

$$R = 40k\Omega - > 39k\Omega \quad C = 2.5nF - > 2.7nF$$

2. Cálculo de $\frac{V_{out}}{V_{in}}$

Mientras en uno de los dos circuitos la resistencia y la impedancia tienen una disposición, para el otro se intercambian de lugar, por lo que los siguientes cálculos se realizaron con impedancias Z_1 y Z_2 como se muestra en la Figura ?? y luego se reemplazó con el valor correspondiente al circuito al que se hizo mención.

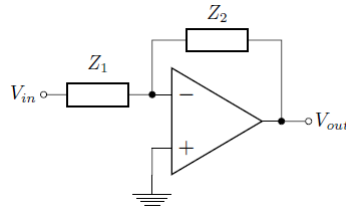


FIGURA 1: Circuito con impedancias Z_1 y Z_2 .

2.1. Idealidad

$$H(s) = \frac{V_{out}}{V_{in}} = H_{ideal} = H_I = G_{ideal} = G_I \quad (1)$$

2.2. Con A_{vol} finito

Si dejamos de lado el caso ideal y consideramos que A_{vol} no es infinita, se consigue el siguiente sistema de ecuaciones:

$$\begin{cases} V_{out} = A_{vol} (V^+ - V^-) = -A_{vol} V^- \\ V_{out} - V^- = i Z_2 \\ V_{out} - V_{in} = i (Z_1 + Z_2) \end{cases} \quad (2)$$

$$H(s) = -\frac{Z_2}{Z_1} \frac{1}{1 + \frac{Z_2}{1 + \frac{Z_1}{A_{vol}}}} = -\frac{A_{vol} Z_2}{Z_2 + Z_1(A_{vol} + 1)} \quad (3)$$

Si $A_{vol} \rightarrow \infty$ obtenemos la expresión para $H(s)$ vista para el caso ideal. También podemos escribir $H(s)$ en función de G_I :

$$H(s) = \frac{A_{vol} Z_2 G_I}{A_{vol} + 1 - G_I} \quad (4)$$

Viendo el datasheet del amplificador operacional utilizado se notó que $90 \text{ dB} < A_{vol} < 110 \text{ dB}$ a condiciones normales de temperatura (25°C) y alimentando con $\pm 15 \text{ V}$.

2.3. Con $A_{vol}(w)$ con polo dominante

$$H(s) = - \frac{\frac{A_{vol}}{1 + \frac{s}{w_p}} Z_2}{Z_2 + Z_1 \left(\frac{A_{vol}}{1 + \frac{s}{w_p}} + 1 \right)} = - \frac{A_{vol} Z_2}{(Z_1 + Z_2) \left(\frac{s}{w_p} + 1 \right) + A_{vol} Z_1} \quad (5)$$

En este caso también se aplica que si $A_{vol} \rightarrow \infty$ obtenemos la expresión para $H(s)$ vista para el caso ideal. El datasheet nos informa que el valor de BWP del *LM833* es de 15 MHz . Si recordamos lo siguiente podemos obtener el valor de w_p .

$$BWP = A_{vol} \cdot w_p \Rightarrow w_p = 2 \cdot \pi \frac{BWP}{A_{vol}} = 2 \cdot \pi \frac{15 \times 10^6}{10^{\frac{110}{20}}} = 2 \cdot \pi \cdot 47,4342 \text{ Hz} \quad (6)$$

3. Impedancias de entrada teóricas

3.0.1. Primer Caso

$$Z_{in} = Z_1 \quad (7)$$

3.0.2. Segundo Caso

3.0.3. Tercer Caso

4. Circuito Derivador

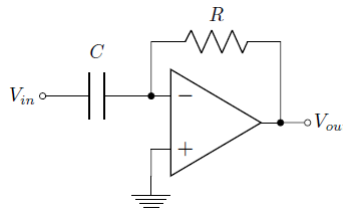


FIGURA 2: Circuito derivador.

En este caso $Z_1 = \frac{1}{sC}$ y $Z_2 = R$.

4.1. Ganancia Ideal

$$G_I = H_{ideal}(s) = - R \cdot C \cdot s \quad (8)$$

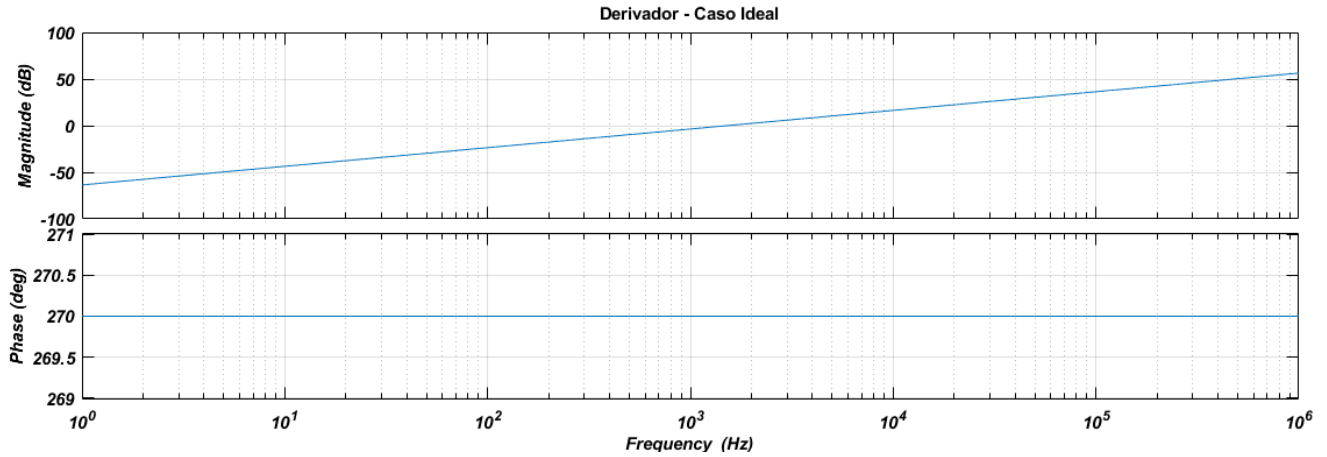


FIGURA 3: Ganancia para el caso ideal del derivador.

Si realizó la antitransformada recordando que $H(s) = \frac{V_{out}}{V_{in}}$ obtenemos:

$$v_{out}(t) = - R \cdot C \cdot \frac{\partial v_{in}(t)}{\partial t} \quad (9)$$

Donde se observa que la función a la salida es la derivada de la función a la entrada multiplicada por una constante que es $-RC$.

4.2. A_{vol} finito

$$H(s) = -\frac{A_{vol} \cdot C \cdot R \cdot s}{A_{vol} + C \cdot R \cdot s + 1} = -\left(\frac{A_{vol} \cdot R \cdot C}{A_{vol} + 1}\right) \cdot \frac{s}{\left(\frac{s}{\frac{A_{vol} + 1}{R \cdot C}}\right) + 1} \quad (10)$$

Se observa que se agrega en este caso un polo en $f = \frac{1}{2 \cdot \pi} \cdot \frac{A_{vol} + 1}{R \cdot C} \sim 478 \text{ MHz}$, notando así en la Figura ?? que la ganancia comienza a tomar un valor constante cerca de este valor mientras que la fase tiene un cambio de -90 grados lento que comienza aproximadamente a los 50 MHz y termina de caer alrededor de los 5 GHz . Mientras no se trabaje cerca de estos valores de frecuencia se puede decir que el comportamiento del circuito no se ve afectado y que se comporta como el ideal.

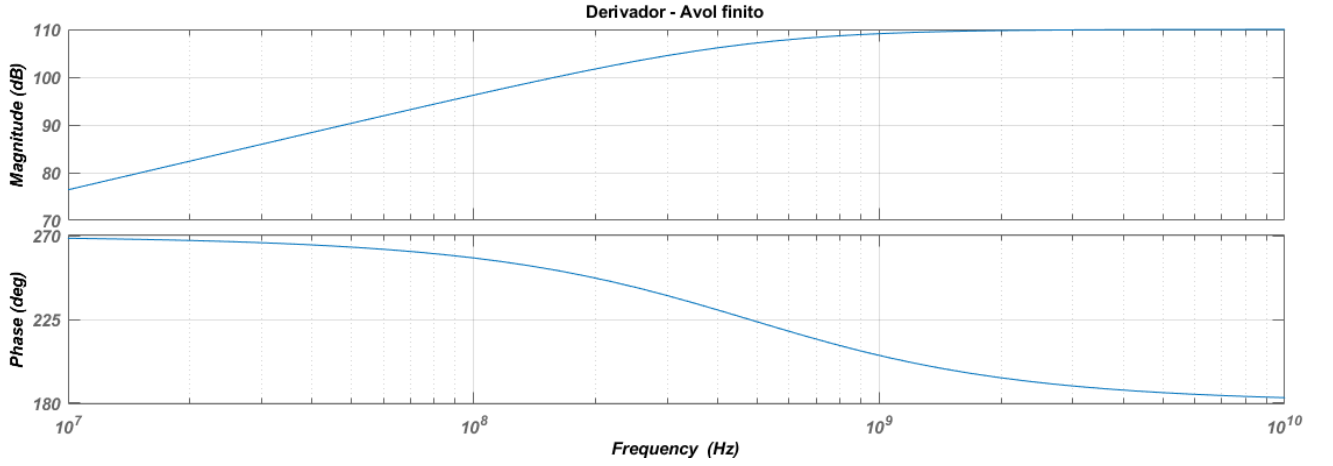


FIGURA 4: Ganancia para el caso con A_{vol} finito del derivador.

4.3. $A_{vol}(w)$ con polo dominante

$$H(s) = - \left(\frac{A_{vol} \cdot C \cdot R}{A_{vol} + 1} \right) \cdot \frac{s}{\frac{s^2}{\frac{(A_{vol} + 1)}{C \cdot R}} + \frac{1 + C \cdot R \cdot w_p}{(A_{vol} + 1) \cdot w_p} \cdot s + 1} \quad (11)$$

En este tercer caso se observa que hay un polo de segundo orden en $f_0 = \frac{1}{2 \cdot \pi} \sqrt{\frac{(A_{vol} + 1)}{C \cdot R}} w_p \sim 150 \text{ kHz}$.

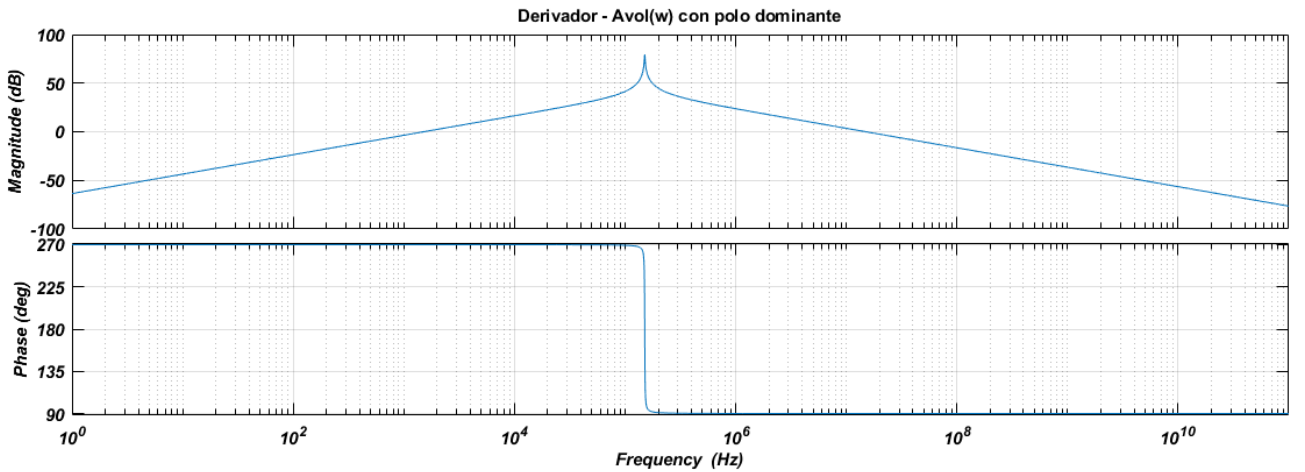


FIGURA 5: Ganancia para el caso con $A_{vol}(w)$ con polo dominante del derivador.

A partir de los 100 kHz se puede notar que comienza a afectar el polo dominante como un sobrepico en la amplitud y un cambio rápido de -180 grados

4.4. Comparación de los 3 casos

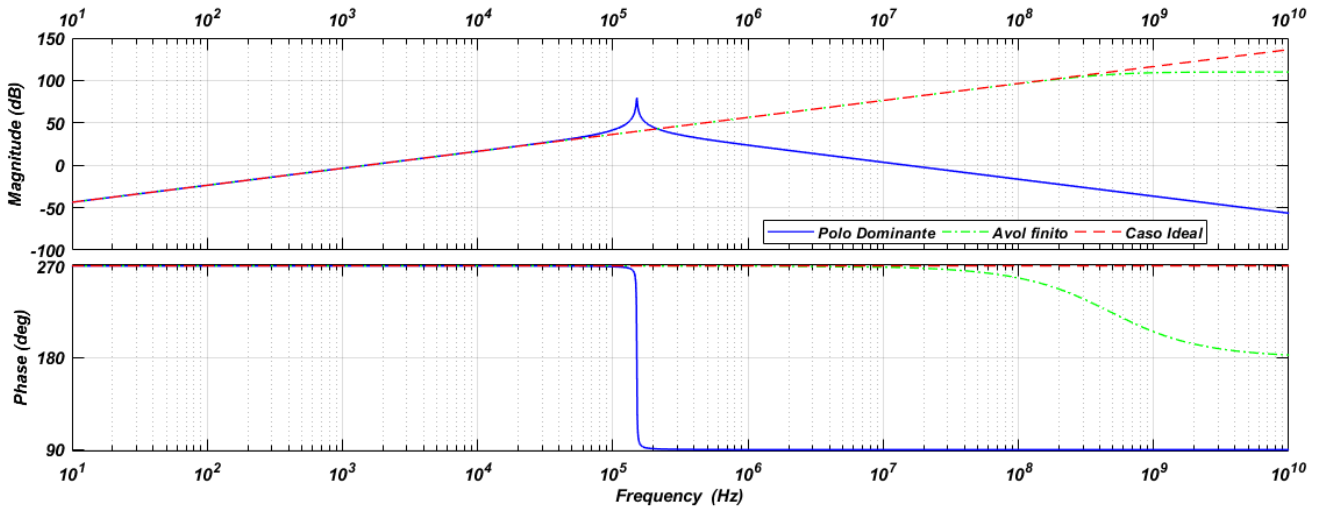


FIGURA 6: Superposición de los tres casos.

Viendo el gráfico se notó que a frecuencias menores a aproximadamente 80 kHz tanto la amplitud como la fase de las tres funciones se comportan de forma idéntica, por lo que si trabajamos con frecuencias menores a 80 kHz el circuito debe cumplir con el propósito de su diseño, el de derivar.

4.5. Simulación LTSpice

4.6. Medición

5. Circuito Integrador

5.1. Ganancia ideal

$$G_I = -\frac{1}{C R S} \quad (12)$$

5.2. A_{vol} finito

$$H(s) = -\frac{A_{vol}}{C s \left(R (A_{vol} + 1) + \frac{1}{C s} \right)} = -\frac{A_{vol}}{R C (A_{vol} + 1) s + 1} \quad (13)$$

5.3. $A_{vol}(w)$ con polo dominante

$$H(s) = -\frac{A_{vol}}{C s \left(\frac{s}{w_p} + 1 \right) \left(\frac{1}{C s} + R \left(\frac{A_{vol}}{\frac{s}{w_p} + 1} + 1 \right) \right)} = -\frac{A_{vol}}{C R s^2 + (C R w_p + C R w_p A_{vol} + 1)s + w_p} \quad (14)$$

6. Conclusión